

## The theory of van der Waals forces

(R.J. Hunter, foundations of Colloid Science, ch. 11)

- Eisagwosi, αλληλεπίδρωσις λεπτού τοπίου
- Θεωρία London
- Η θεωρία Smoluchowski και Στέγκ (Θεωρία Hamaker)
- ↪ Αλληλεπίδρωσις λοπίου ή λαρυγκονίκη σύσταση
- ↪ Επιδρούν τα φεύγοντα διασπόρα
- Πανίσχυρα καθυστέρησης των αλληλεπιδρώσεων στη θεωρία Hamaker
- Η προσέξηση Deryaguin
- Στοιχεία σύγχρονης θεωρίας δυνάμεων διασπόρας
  
- Τεχνητές διασπόραις: Σε βάση ανάλυσης γραμμής Debye-Hückel
- Συνέπεια της καθυστέρησης προσέξησης ή της εμπορεύματος της κατάστασης

A) Μικροσκοπική θεωρία London

B) Συγχρόνη λαρυγκονίκη θεωρία Lifshitz.

- A) Παρίστανται ως υδρογον-παρασχήματα ή αλληλεπιδρώσεις ανάτομων σε στέγκ λοπίων λαρυγκονίκης ή σε μεταστάσεις της προσέξησης
- ↪ Ουσιαστική αλληλεπίδρωση ανάτομων σε δύο λαρυγκονίκης σύσταση.
  - ↪ Η ουσιαστική αλληλεπίδρωση προσέξησης από την οποιοτήποτε την αλληλεπίδρωση ανάτομων σε δύο λοπία ή αντεπίδρωση στην αντεπίδρωση.
  - ↪ Στην αντεπίδρωση της αντανακλαστικής διασπόρας και στην αντανακλαστική της μάζας από Vc)
  - ↪ Εξαντλεί την περιφέρεια της διασπόρας την αλληλεπίδρωση σε στέγκ λοπίων την περιφέρεια της σταθερής (τημπούλων)
  - ↪ Η προσέξηση Deryaguin ή την αναλογιστική της Vc) την αλληλεπίδρωση στην αντανακλαστική της μάζας.

### B) Multipolar van der Waals Lennard-Jones

- Extern Suszeptibilität (Dispersion relation)
- Intern Suszeptibilität anisotrop,  $\epsilon(r)$   
(dielectric response function)

↳ Hydroxylgruppen gegenüber Ammonium

↓ für Protonen anstreben

$$A = \underbrace{30-10}_{\text{Feststoff}}, \quad \underbrace{3-L}_{\text{Oxide}} \quad \underbrace{0.3 \times 10^{-20} \text{ J}}_{\text{Säurechloride}}$$

- Volumen elastische additivitatsprinzipien für gasförmige Flüssigkeiten  
Volumeneffizienz eines Teilchens proportional zum Teilchenraum ist ansonsten  
und zu reziproker proportional (Boyle-Charles)

1873, van der Waals:  $(P + \frac{n^2 a^4}{V^2})(V - nb) = nRT$

- a: elastische additivitatsprinzipien  $\rightarrow$  gasförmiges effektiv  
b: örtliches Foliur  $\rightarrow$  gasförmiges effektiv anders

Isotherm Newton:  $V \sim R^{-n}$   $n > 4$  additive  $V \rightarrow \infty$  für große  $R$   
zu konservieren erinnern.

van der Waals, Thomson war davor  $\rightarrow$  <sup>freie</sup> additivitatsprinzipien aufzugeben  
seine Sätze für hydrophile Stoffe gingen später zu Smidts Struktur  
zu Smidts Formel  $\sim 1/R^6$

\* Additive oder multipolare Wechselwirkungen  $\rightarrow$  van der Waals

↳ Debye (1920): zufallsorientierte Form:  $\rightarrow 1/R^9 \times$

↳ Kramers-Kronig (London 1930)  $\rightarrow 1/R^6 V$

### Θεωρία London

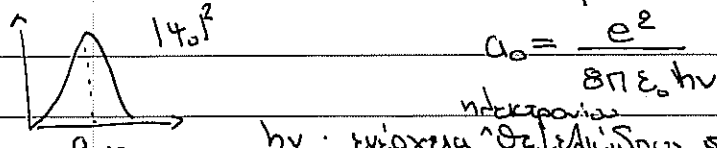
Αυτή είναι Σιαρπάζινης και van der Waals

↳ αντιδημόσιον φεύγει λήψη πιο μεγάλη και επαγγέλματα σινόδων

Θεωρία Μέτρου Σιαρπάζινης διεργάσεων τοίχων

'Αυτό ο σπάζεται - τούριδα των Bohr

αριθμός των σεταλίσματων ειδήσης:



$$a_0 = \frac{e^2}{8\pi\epsilon_0 h v}$$

νετρόνιος

$h v$ : επίγεια σεταλίσματων ειδήσης

↳ επίγεια λογιστικής αριθμ. H.

Συγκρίσια (την λόγη) σινόδων ποσών  $P_1 \approx a_0 e$

Ηλεκτρικό πεδίο σινόδων σε αντίστοιχη R

$$E \approx \frac{P_1}{4\pi\epsilon_0 R^3} \approx \frac{a_0 e}{4\pi\epsilon_0 R^3}$$

↳ Επαγγέλματα σινόδων από την σινόδων ποσή

$$P_2 = a E \approx a x_0 e / (4\pi\epsilon_0 R^3)$$

↳ αναφέρεται προσεχείς ποσών  $a \approx 4\pi\epsilon_0 a_0^3$

$$\Rightarrow V_{int}(R) = -P_1 \cdot P_2 / 4\pi\epsilon_0 R^3 \approx -a \frac{a_0^2 e^2}{(4\pi\epsilon_0)^2 R^6} = \frac{2a^2 h v}{(4\pi\epsilon_0)^2 R^6}$$

### • Θεωρία Σιαρπάζινης:

$$V_{int}(R) = -\frac{C_{AB}}{R^6}$$

$$C_{AB} = \frac{3e^4 h}{2m_e (4\pi\epsilon_0)^2} \sum_{m,n=0}^{\infty} \frac{f_{om} f_{on}}{\omega_{om}^A \omega_{on}^B (\omega_{om}^A + \omega_{on}^B)}$$

int(R) συνδέεται με την απόρρηψης.

$$f_{on} = \omega_{on} = \frac{(E_m - E_n)}{\hbar}$$

Διένειν πιθανότητα

$$V_A \text{ για } n \text{ ή } m \leftarrow f_{on} = \frac{2m_e \omega_{on}}{\hbar^2} |P_{on}|^2 \rightarrow \text{επαγγέλματα σινόδων ποσών}$$

$0 \rightarrow m$

© NEXT GREECE

Ixiou  $\sum_m f_{om} = N$  (Dalgarno, Lynn, 1957)  
 L'apofis nukleorion to topo.

Ay frapofie va denurosofe ou fia supienza supienzia  
 qista atropofismos kai cipa ren om addinospisou van des vads:

$$C_{AB} = \left[ \frac{3\pi e}{2m_e^{1/2} (4\pi \epsilon_0)^2} \right] \frac{a_A^0 a_B^0}{(a_A^0/N_A)^{1/2} + (a_B^0/N_B)^{1/2}}$$

$a_A^0$ : n πολυσηfizra olo δrho fia supienza supienzia.

$N_A$ : apofis nukleorion to topo A.

opisimous  $R_0 = \frac{a_A^0 a_B^0}{(4\pi \epsilon_0)^2}$ ,  $\omega_0 = \frac{2 \left( \frac{e}{m_e^{1/2}} \right)}{\left( \frac{a_A^0}{N_A} \right)^{1/2} + \left( \frac{a_B^0}{N_B} \right)^{1/2}}$

$$\hookrightarrow V_{int}(R) = -\frac{3}{4} k_B \omega_0 \left( \frac{R_0}{R} \right)^6$$

χαρακηριστikis:  $a_0^0/4\pi \epsilon_0 : 1-20 \cdot 10^{-30} m^3$

$$\hookrightarrow R_0 \approx 0.2 nm, \omega_0 \approx 10^{16} rad/s$$

$$\hookrightarrow V_{int}(R) \approx -10^{-18} \left( \frac{0.2}{R(nm)} \right)^6 Joules$$

Fia  $R \approx 0.4 nm$  kai  $T \approx 300 K$  Eπoxou  $V_{int} \approx 2 k_B T$

\* fia addinospisou avfisat fia supienza supienzia o.  
 supien London nukleorion to debye-sinoud (Keesom)  
 kai fia sinoud-επoxou sinoud (Debye); επoxou to deyoyto,  
 oti n papasozhi ins dypson to addinospisou avfisat  
 kavodigou kai tis oti n supienza supienzia to deyoyto London.

Empiria Hamaker (1937)

↳ Oi fysikis epiforias eikones additivisparas unigou se  
voun der waals

↳ OSygor se ouapheiron rothodis se Sichtga.

N lópia se distis  $\bar{R}_i$  ( $i=1 \dots n$ )

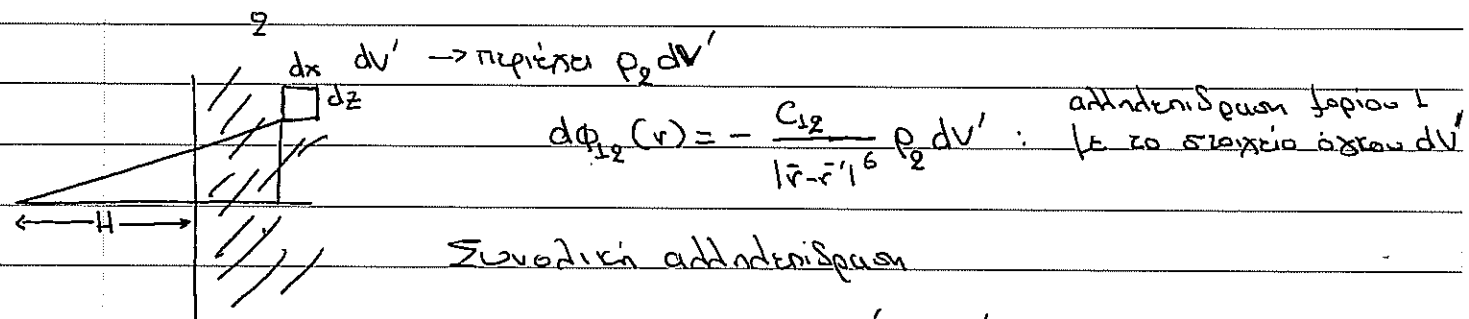
$$f_e R_{ij} = |\bar{R}_i - \bar{R}_j|$$

Σε npisn iposeigjien n evodikin additivisparas ipexwri se zw  
npesetos zw additivisparas avales se dha za teim aufausum

$$V_{1,2,\dots,n}^{\perp,\dots,n} = \frac{1}{2} \sum_{i=1}^n \sum_{j \neq i} V_{i,j}^{ij} (R_{ij})$$

Σro náptos npoktita, fe kavlofraxim iposeigjien si karakteris zw  
aufausum i kai j empízontai ana un unapán ádhu aufausum.

Ypologistos additivisparas lópou t se <sup>δōm</sup>  
xipharos na anorektai ana lópou 2 (curvolumen  $\rho_2$ )



$$\Phi_{12}(r) = - C_{12} \rho_2 \int \frac{dv'}{|r-r'|^6}$$

$\Sigma_{ipar}$

Plazw repitum na zo qafe & evai <sup>era náptimis</sup>  
scubbaom H una zo aufausum t.

$$\Phi_{12}(H) = - C_{12} \rho_2 \int_0^\infty \int_0^\infty \frac{2\pi z dz}{[(H+x)^2 + z^2]^3} = - \frac{\pi C_{12} \rho_2}{6 H^3}$$

$\Rightarrow$  \* Additivitatem fexadikens effektes ( $\sim 1/H^3$  avu zia  $1/H^6$ )

Additivitatem avafetaa ois duo farasorikia surfares.

To lipia i eival fexas tudos allos surfaion je posicimia  $P_1$

$$dV_A = \phi_{12}(r) P_1 dV$$

$$V_A = P_1 \int \phi_{12}(r) dV = - \frac{A_{12}}{\pi^2} \int_{\text{surf 1}}^{r} dV \int_{\text{surf 2}}^{\infty} \frac{1}{|\vec{r} - \vec{r}'|^6} dV'$$

$$\text{ionu } A_{12} = \pi^2 P_1 P_2 C_{12} \quad : \text{sigmafro Hamaker.}$$

Tro opro nro n' anstasen avafetaa ois surfacis eival nro fexadikens an o  
surfaion rous proposito na xriixoufe  $|\vec{r} - \vec{r}'| \approx R \rightarrow$  anstasen avafetaa ois  
rou iur supafasian. Apa:

$$V_A \approx - \frac{A_{12}}{\pi^2} \frac{V_1 V_2}{R^6}$$

ta duo rupidhaka infinited; ois anstasen H.

$$V_A(H) = - \frac{A_{12}}{6\pi} \int_{\text{surf 1}}^{H+x} ds_1 \int_0^{\infty} \frac{dx}{(H+x)^3} = - \frac{A_{12}}{6\pi} \int_{\text{surf 1}}^H ds_1 \int_H^{\infty} \frac{dx}{x^3} \Rightarrow$$

Empirika  
rou supafasian

$$dV_* = dx ds_1$$

$$\Rightarrow \frac{V_A(H)}{\int ds_1} = - \frac{A_{12}}{6\pi} \frac{1}{2} \frac{1}{H^2} = - \frac{A_{12}}{12\pi H^2}$$

Duvalikm energeia additivitatem ois fexadikens emfaniases.

- H EniSpanz tou feso SiaSpanopis otiis Savfes van der Waals

→ EniSpanz tou feso SiaSpanopis (Siaium) iporantei leivn zu Swiften van der Waals awl feso se rothotisn superfisia.

544 | 11: THE THEORY OF VAN DER WAALS FORCES

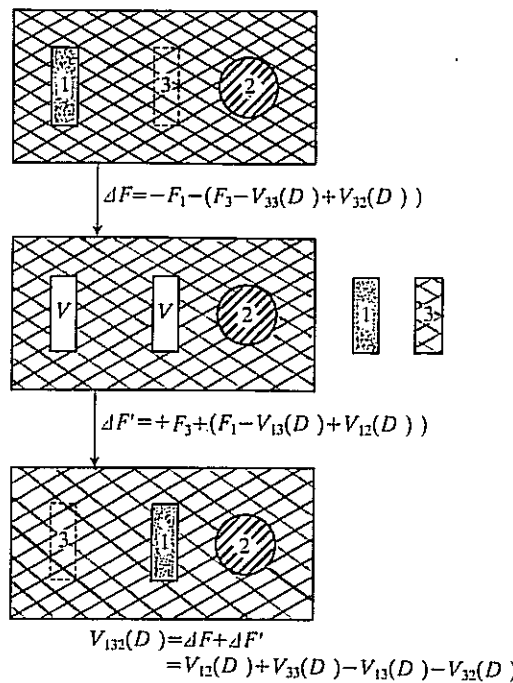


Fig. 11.3.3 Thermodynamic path for calculating the interaction energy  $V_{132}(D)$  of bodies 1 and 2 in a fluid medium 3.

Etrei superfisia 1 kai 2 se feso SiaSpanopis 3.

epiDn se anistren D peras tou sano zo antrpo n arthrin sun etalitogn

graxi se sivei firodipn aro dñi av Sw unigxt zo feso 3.

ar sivei fivo zo 1 oto feso 3 ed hidentSei peras fivo fe fivo zo 3

epi zo 2 kerai n arthrin sun eudixia iporantei aro zwv auvereniasn zwv piwv tou 3 around tou 2 (firodipn aro dñi av eixafta reis ari 3 apxirh).

Tu zo v uologisfo zwv firodipn zwv enipgyras. circu-Steife zwv nupurkaz.

teflosvaficis Spole:

A) Τα + και 2 είναι στο 3 σε αντίθετη πλευρά της γέφυρας.  
Τη λόγια του 3 στο σημείο από την οποία θεωρείται πάνω το 1 δημιουργεί  
δια αποτέλεσμα το "σύμβολο 3".

- Αφαιρούμε τα 1 και 3 από το σύστημα και τα φεραριέρα το κενό.  
Η αλλαγή διεισδύει:

$$\Delta F = -F_1 - [F_3 - V_{33}(D) + V_{32}(D)]$$

Αλλαγή διεισδύει  
μηδουμένων ανταντών  
1 και 3 ή το σύμβολο 3.

Η φεραριά της ενέργειας  
αλλαγής διεισδύσεων 3 ή το  
πριβάλλον του διαν τα  
τέρα του σύμβολο 3 που ήταν στην  
δίση του σύμβολου 2 αντικα-  
τείνεται από αυτά του 2.

$V_{kj}(D)$ : Η ενέργεια αλλαγής διεισδύσεων

στο κενό ανταντά το σύμβολο 3  
τέχνες και σχήμα του σύμβολου 1 και  
τέρα του σύμβολου 3 της ανταντής  
τέχνες και σχήμα του σύμβολου 2 και  
τέρα του σύμβολου 3.

B) Ενεργειάρει το σύμβολο 3 στην παλιά θέση του 1 και το 1 στην  
παλιά θέση του 3. Η αλλαγή διεισδύει:

$$\Delta F' = F_3 + [F_1 - V_{13}(D) + V_{12}(D)]$$

$V_{12} - V_{13}$ : Η φεραριά της ενέργειας αλλαγής διεισδύσεων 1 ή το  
πριβάλλον του διαν τα τέρα του σύμβολο 3 που ήταν στην δίση του σύμβολου  
2 αντικαταστάθη από αυτά του 2.

ΤΕΛΙΚΑ:

$$V_{13}(D) = \Delta F + \Delta F' = V_{12}(D) + V_{33}(D) - V_{13}(D) - V_{32}(D)$$

Όλως  $V_{kj}(D) = \underbrace{-A_{kj} V(D)}$

Συνθετικό του  
Hamaker σύστημα.

Δεύτερη συνήθηση

Πώς οι συνθετικές και τα συντηρητικά  
του.

Άρα:

$$V_{132}(D) = -A_{132} V(D)$$

$$\text{f.e. } A_{132} = A_{12} + A_{33} - A_{13} - A_{32}$$

\* Η παρουσία του φεσού 3 αδιάβροχη στη σύνθετη της συνήθησης van der Waals αντεστά στη συγχύσια με την 2.

Επίσης  $A_{112} = A_{12}$  προκύπτει ότι

$$A_{132} \leq A_{112} \quad \text{αφού να λειτουργεί } A_{33} < A_{13} + A_{32}$$

Τα συντηρητικά συμβάλλουν.

\* Τηρημένος ότι  $A_{11} = A_{33}$  έχει  $A_{132} = A_{313} = 0$

\*  $A_{jkj} > 0 \Rightarrow$  τα δύοια συγχύσια πάντα είναι καταρρακτικά.  
τα ανισοροπητικά και να αναγνωρίζονται.

↳ Τηρημένης ημέρας:  $A_{kj} = A_{kk}^{1/2} A_{jj}^{1/2} \Rightarrow$

$$\Rightarrow A_{132} \approx (A_{11} - A_{33}) (A_{22} - A_{33})$$

- Kadutien Spinsen aus van der Waals

$$V_{\text{ext}}(r) \sim \frac{1}{r} \quad \leftarrow \text{Kavarien Störpotenzialen zu}$$

& Additivitätssprinzip, Coulomb Potenzialen zu addieren  
unter Berücksichtigung der van der Waals Kräfte.

A(t)

Plötzliches Sieden eines Flüssigkeitszustands zu einem gasförmigen Zustand  
ist eine Phasenumwandlung.

Die Volumenänderung ist die Differenz zwischen den Volumina der Flüssigkeit und des Gases.

Die plötzliche Siedezeit ist diejenige Zeit, in der die Flüssigkeit in einen Gaszustand übergeht.

Die plötzliche Siedezeit ist diejenige Zeit, in der die Flüssigkeit in einen Gaszustand übergeht.

Bei einem Übergang von einer Flüssigkeit zu einem Gas wird die Siedezeit bestimmt durch die Volumenänderung, die bei der Verdampfung auftritt. Diese Volumenänderung ist proportional zur Flüssigkeitsdichte.

Zeit der Verdampfung:  $\sim R/c$

$$\text{charakteristische Zeit der Verdampfung} \sim \frac{2\pi}{\omega_0}$$

$$\text{Aber meistens } R \ll \frac{2\pi c}{\omega_0} = \tau_0 \quad \text{wobei } n \text{ Teilchen und } c \text{ Stoffdichten.}$$

Die Volumenänderung ist die Differenz zwischen dem Volumen der Flüssigkeit und dem Volumen des Gases.

Bei einem Übergang von einer Flüssigkeit zu einem Gas wird die Siedezeit bestimmt durch die Volumenänderung, die bei der Verdampfung auftritt.

$$\text{Volumenänderung: Casimir van Polder (1948)}$$

$$\text{für } R \gg \lambda \quad V_{\text{int}}(R) \sim -\frac{23 \hbar c a_B^2 a_A^2}{4\pi (4\pi \lambda)^2 R^7}$$

$\Rightarrow$  H Spinsen zw. van der Waals geben  $\frac{1}{R^7}$  hohen Beitrag.

Overbeek (1952)

$$V_{int}(R) = - \frac{3\hbar\omega_0 a_0^2}{4(4\pi\epsilon_0)^2 R^6} f(p) \quad \Rightarrow p = 2\pi R / \lambda_0$$

for  $f(p) = 1.01 - 0.14p$  for  $1 < p < 3$

then  $f(p) = \frac{2.45}{p} - \frac{2.04}{p^2}$  for  $p > 3$

long dipole approximation  
and weak interaction

→ Προβληματικό

↳ Αν υπάρχει μια προσδιορίστρια των αλιθινών σπάσεων  
Η χρήση ευρις λέγεται να είναι προεξοχική.

↓  
Η παραδοσιακή θεωρία του Lifshitz παιρνει ωστόσο  
την και τη σύσταση στοιχεία.

## H ηπειρωτικόν Deryagin (1934)

Η αλληλείσχασης αύξεσσα σε δύο σύμβαρα είναι το Σενάκης  
είναι ιδεατή σταθερή για την περίπτωση που τα δύο σώματα  
αποτελούνται από σφραγίδες.

550 | 11: THE THEORY OF VAN DER WAALS FORCES

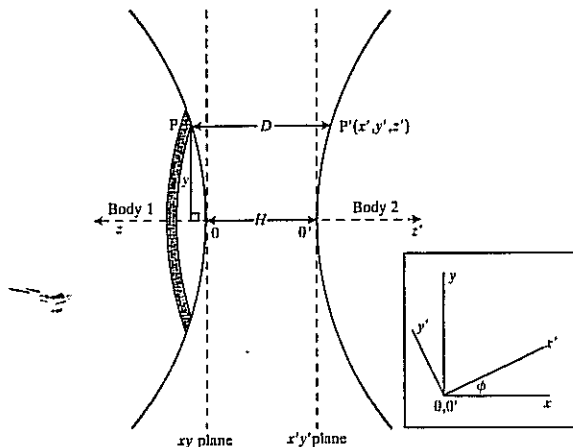


Fig. 11.5.1 Geometry of two interacting bodies illustrating appropriate principal coordinate axes for each body. The insert shows the orientation of the coordinate axes at 0 and 0', looking along the line of centres between the two bodies.

Η τηλείωση της δραστηριότητας παρατίθεται όταν η απόσταση των σύμβαρων είναι μεγαλύτερη από την απόσταση D και αυτήν.

Έποσον  $H \ll R_1, R_2$

Η επίπτωση αλληλείσχασης είναι

$$dV = E(D) dS_{\perp}$$

Ενέργεια αλληλείσχασης  $\int$

ανα λαμβάνεται αύξεσσα από τις επιφάνειες 1 και 2.

Συνολική ενέργεια αλληλείσχασης

$$V(H) = \int dS_{\perp} E(D)$$

Επιφάνεια 1

η  $E(D)$  πρέπει να τελειώνει αρκετά γρήγορα ή την απόσταση της οποίας

η συνολική σύνθετη  $V(H)$  από στοιχεία της επιφάνειας που βρίσκεται μερικώς από το 0·  
να είναι μετατόπισμα,

Για δύο σπιρές ή τεξάδες ακίντες σε

$$V(H) = 2\pi \int_0^{\infty} y E(D) dy$$

δύος ειναι  $\frac{D-H}{2} = a - \sqrt{a^2 - y^2} \Rightarrow 2y dy = a \sqrt{1 - \frac{y^2}{a^2}} dD \approx a dD$

Άρα

$$V(H) = \pi a \int_H^{\infty} E(D) dD$$

γενικότερα για εμφύσεις ή ωγαίο προσανατολισμό και κατανοήσιμη \*

$$V(H) = \frac{2\pi}{(\lambda_1 \lambda_2)} \int_H^{\infty} E(L) dL \quad \text{white (1983)}$$

$$\text{όπου } \lambda_1 \lambda_2 = \left( \frac{1}{R_1} + \frac{1}{R'_1} \right) \left( \frac{1}{R_2} + \frac{1}{R'_2} \right) + \sin^2 \phi \left( \frac{1}{R_1} - \frac{1}{R'_1} \right) \left( \frac{1}{R'_2} - \frac{1}{R_2} \right)$$

τα R και R' τις τύπες ακίντες κατανοήσιμες για σύσπειρα (λεγ.)

H σύρει ανθεκτισμός ειναι

$$F(H) = - \frac{\partial V}{\partial H} = \frac{2\pi}{(\lambda_1 \lambda_2)} E(H) \quad *$$

\* λεγει για τις δύο ανθεκτισμούς (σχ. force van der waals)

αρκει  $L_0/R_0 \ll 1$  και  $H/R_0 \ll 1$

τα L<sub>0</sub> τα καρκινοτόπικα λιπαντικά τείχη των ανθεκτισμούς σε φυσικές  
και λογικές περιοχές ακίντες κατανοήσιμες.

→ Κάθετη κατεύθυνση :

$a_2$	$R_1 = a_1$	$\Rightarrow \lambda_1 \lambda_2 = \frac{1}{a_1 a_2}$	$V(H) = 2\pi \sqrt{a_1 a_2} \int_H^{\infty} E(L) dL$
$a_1$	$R_2 = \infty$		
	$R'_1 = a_2$	$F(H) = 2\pi / (a_1 a_2 \cdot E(H))$	
	$R'_2 = \infty$		
	$\phi = \pi/2$		

Συγχρον δημόσια (Lifshitz) των Surfaces van der Waals.

- Σημείωση σε κραυγική δημόσια πεδία για να μολογίσει την απεριφερειακή αλληλεπίδραση ανάτομα σε δύο επιφάνειες.

Ταρίχωση: Η δύναμη ανάτομα σε δύο τέτοιους αγωγούς στο κέντρο είναι δημόσια Β.Κ. (Φανόφενο Casimir).

↳ Προσφέρει από την ενέργεια του κενού ενώ μεταφρασμένων πεδίων

- Αναδοθεί τε την ενέργεια ηλεκτρικού σήματος όπου μολογίσουνται τα δυνατά στατικά τύπα σε παραβολικές ως ανεξίσπιτες γεωμετρίες που αρκούντων την στατιστική Bose-Einstein.

Στο  $T=0K$  κάθε στατικό τύπο έχει ενέργεια  $\hbar\omega/2$

- Στο κέντρο, στο  $T=0K$  υπάρχουν διαφόρα στατικά τύπα  $\Rightarrow$  η ενέργεια του κενού είναι διαφορακός.

- Η διαφορά δύο λεπτής πλάτης ο αριθμός των ενιγματικών στατικών τύπων παραπλένει εξαιρετικά την ενέργεια των συναρμολογιών.

Η αποδεκτή ενέργεια είναι πάλι διαφορακός.

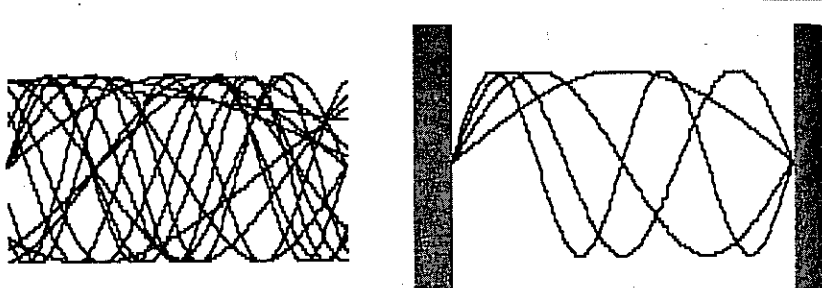
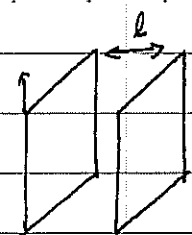


Fig. 4.2 Sketch in one dimension of some of the possible standing wave modes in free space (left), and in the space between perfectly conducting metal plates (right). The difference in zero-point energies between the two situations gives rise to the attractive Casimir force between the plates.

\* Η ΔΙΑΦΟΡΑ ΕΝΕΡΓΕΙΑΣ ΑΝΑΜΕΣΑ ΣΤΙΣ ΔΥΟ ΚΑΤΑΣΤΑΣΕΙΣ  
GINAI ΤΕΤΕΡΑΣΜΕΝΗ.



Διο παραπάνως φερθήσεις πλάκες, παραταίσιας εμφάνισης, σε αντίστοιχη  
λ. φερθούσας και σε ρεύμα  $T = 0K$ .

Η ενέργεια αδιαδιστρώσιμης είναι:

$$E(l) = \frac{hc}{2} \sum_{k_1, k_2, n} w(k_1, k_2, n)$$

$$\text{και } w(k_1, k_2, n) = c \left( k_1^2 + k_2^2 + \frac{n^2 \pi^2}{l^2} \right)^{1/2}$$

↑  
ταξινόμηση των φυλών

$k_1$ , και  $k_2$ : καταραντισταρα στον άξονα  $x$  και  $y$  αντίστοιχα.

Για να πάρουμε ωριμότερος τας το σύνολο των  $k_1$ , και  $k_2$  προσθίτε να αποκλι-  
σατε στο πλάνο του  $k = (k_1^2 + k_2^2)^{1/2}$

$$E(l) = \frac{hc}{2} \int_{n=0}^{\infty} \sum_{k=0}^{\infty} \left( k^2 + \frac{n^2 \pi^2}{l^2} \right)^{1/2} k dk$$

- Αποδίδει την πλάκανη στην κρύσταλλο την επίσημη της  $\delta$  για την  $k_3$  στην  
διεύθυνση  $z$ ) εξαγίνει την αναπλασή συντονισμού εργαλείου.

Άριστη είναι:

$$E_0(l) = \frac{hc}{2} \int_0^{\infty} k dk \int_0^{\infty} \left( k^2 + \frac{n^2 \pi^2}{l^2} \right)^{1/2} dn$$

$$E(l) \text{ και } E_0(l) \rightarrow \infty$$

Άλλα  $E(l) - E_0(l)$  : παραπλέον.

$$\text{αριθμούτε } S(\delta, n) = \int_0^{\infty} k dk \left( k^2 + \frac{n^2 \pi^2}{l^2} \right) \exp\left(-\left(k^2 + \frac{n^2 \pi^2}{l^2}\right)\delta^2\right)$$

$$\text{ώστε: } E(l) = \lim_{\delta \rightarrow 0} \frac{hc}{2\pi} \sum_{n=0}^{\infty} S(\delta, n)$$

$$E_0(l) = \lim_{\delta \rightarrow 0} \frac{hc}{2\pi} \int_0^{\infty} S(\delta, n) dn$$

H διαφορά συν ενέργεια  $E(l)$  και  $E_0(l)$  είναι η διαφορά αύξησης στην αύξηση της συνολικής ενέργειας:

Xρησιμοποιούμε: Σχέση Euler-Maclaurin  $\sum_{n=0}^{\infty} S(\delta, n) = \int S(\delta, n) dn + \frac{1}{12} \frac{dS}{dn} \Big|_{n=0}^{n=\infty} - \frac{1}{720} \frac{d^3 S}{dn^3} \Big|_{n=0}^{n=\infty} + \dots$

Έχουμε:  $\frac{dS(S, n)}{dn} = n^2 \left( \frac{\pi}{l} \right)^3 \exp(-n^2 \pi^2 \theta^2 / l^2)$

και  $\frac{d^3 S}{dn^3} = \dots$

τότε:

$$U_{\text{extrem}}(l) = E(l) - E_0(l) = -\frac{n c \pi^2}{720 l^3}$$

↳ Εδώρες συνάρτηση για εξάρτηση  $l/θ$

Προβλήματα: a) Τηρούμενη φορμή θα είναι τέτοια αριθμοί.

b) H απόκριση των λικού σε ένα εξωριακό μεταρρυθμίσιο προσέτινε την γραμμή διατροφής ενδεικνύοντας ότι είναι συρόμενη την συγκεκρινή  $\epsilon(\omega)$ .

c) Σε πεπρωτότυπη T πρέπει να πάρετε υπόψη τας και την δερμή ενέργεια του καθε κίτρους διατροφής συντελεστών και την σταύρωσης Base-Einstein. Αυτή είναι ανάλογη της  $K_B T / l^2$  και δεν έχει σημαντική συνεισφορά εκτός από την αριθμητική ωφελογονοδοσία στην εργασία.

\* Συνέδεση με την αναλογία της αλληλεπίδρασης van der Waals Xρησιμοποιούμε την εξίσωση της προσέτινης από τη διατροφή Hanauer & αλληλά A και λαμβάνει την αναλογία της προσέτινης διατροφής Hanauer και Lifshitz.